

## IV-10 吊橋補剛桁の部分模型の風洞実験について (第2報)

正員 東京大学工学部 工博 平井 敦  
 正員 同 ○ 岡内 功  
 准員 同 中村繁之

昨年度の年次講演会において、若干橋を対象とした補剛桁の部分模型の風洞実験について第一次実験の結果を報告した。その後引続いて、補剛桁の断面形状、剛性、減衰性など風力作用下の部分模型の振動性状に關係ある諸因子の影響度に関する風洞実験を継続実施したのでその結果について述べる報告である。

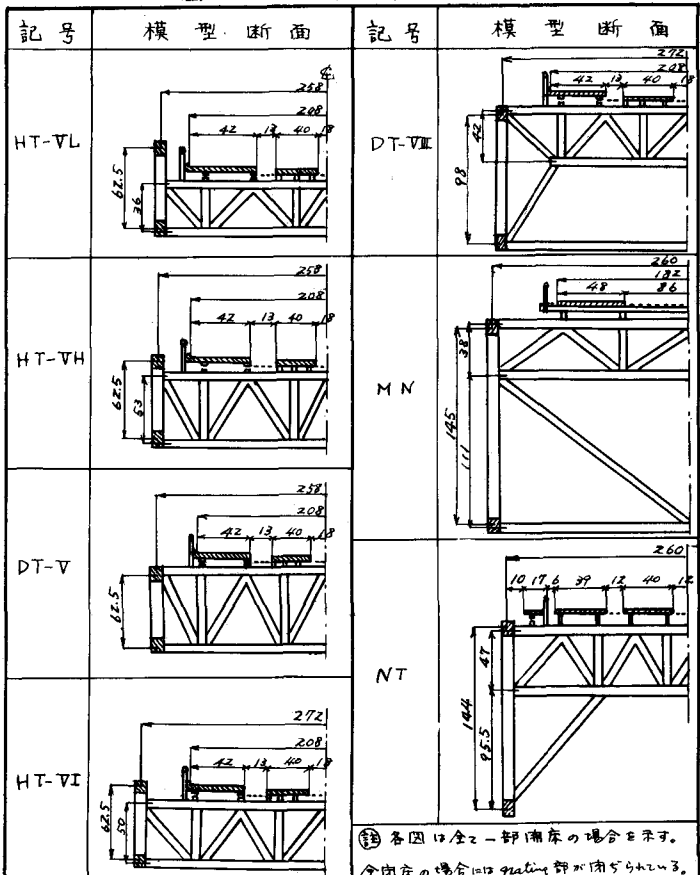
第一次実験の結果、一般にプレートガーダー型補剛桁断面は、トラス型補剛桁断面に比べ、耐風安定性能の点ではかなり劣るところが認められた。従って今回の実験では主としてトラス型断面を実験対象とした。実験された断面のうち主なものを右図に示す。

当然のことながら、風力作用下の模型の振動性状は一般に風速によつて変化する。そこで各風速における模型の振動状態を調べて対数減衰率と同様の意味での対数増減率を求める、 $\bar{S}$ - $\bar{\delta}$ 曲線の比較によって各断面の耐風安定性能の比較を行つたのである。図-2はこの $\bar{S}$ - $\bar{\delta}$ 曲線を比較した一例を示す。また $\bar{S}$ - $\bar{\delta}$ 曲線が $\bar{\delta} = 0$ を下までは去年述べた発振風速以下であるが、図-3は $\bar{S}$ と風の作用傾角との関係を示したものである。左が、各断面に用ひた部分模型実験を行つた先立ちその断面の三分力曲線を示したものであるが、そのうち前記各断面の主要なものに關する $C_m$ - $\bar{\delta}$ 曲線を図-4に示す。

今回の実験で認めた主な事柄を列挙すれば次の通りである。たゞしこれらは結果はトラス型断面について行った実験によつて得られたものであることに一応断つておく。

① 構造構造が全閉床式の場合、 $S_k = \left(\frac{dC_m}{d\bar{\delta}}\right)_{\bar{\delta}=0} > 0$  となるが(図-4)。高風速と下までは発振風速以下の振動は一般に発散する傾向を示す不安定な連成振動である。(図-2) さらにはこの振動は、風が模型に對して傾斜して作用する場合にも必ず見られる。(図-3)

図-1. 主な部分模型の断面



各図は全て一部閉床の場合を示す。  
全閉床の場合にはgrating部が用ひられる。

## ②一方、橋床構造が

一部開床式の場合には  $S_d$  は負となる。(図-4)

風速が増加しても振動振動を生ずるようになると、二の場合は前の振動に比べてとかなり穏かとなる。しかし、ゆっくり増加

してやがて定常振動状態に落ちて模型を示す。(図-2) また二の振動は風の作用傾角が先の断面に特有の成了角度範囲内にあり場合のみ生じ、その範囲外の角度が作用する風は打しては踏み生じない。(図-3)

③二の一部開床式橋床構造を持つトラス型補剛桁において、主構高を高くして補剛桁の垂直曝露面積とトラス外廊縁内の倒積との比を小さくすると、即ちトラス面の面積率とかもへうべきものを大きくすると、部分模型の安定性能はかなり増加する。さらに開床率を高め、また床版端部と弦材間の隙間を狭めることも安定性能向上に効果がある。

④模型の振動数が高い程(即ちこれは剛構としての剛性が大きいことを対応する)、安定性は勝る。

⑤構造的干渉暴力を大きくする程安定性は増加するが、一部開床式の場合の方がその増加度は大きい。

結局のところ最も安定性能の勝れた断面として部分模型の風洞実験の結果から推定された断面は、支間長など

の条件を同じくした場合、揺れ剛性の大さい上路型トラスで、床版端部と工弦材間の隙間及び開床率が大きくなり、その上、主構高が高く、トラス面の面積率の大きいものとへうこく存在するであろう。

図-2.  $V_d - \delta$  曲線

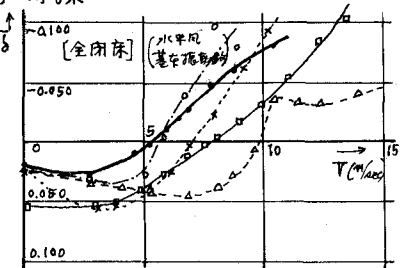
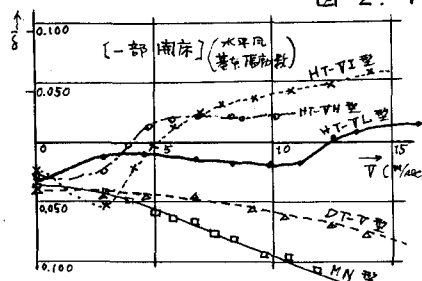


図-3.  $V_d$  と風の作用角との関係

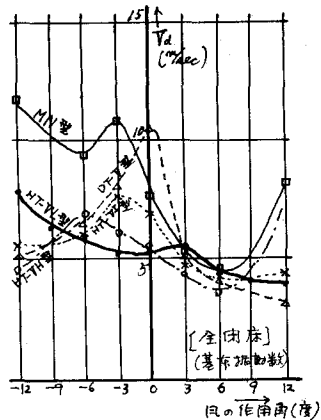
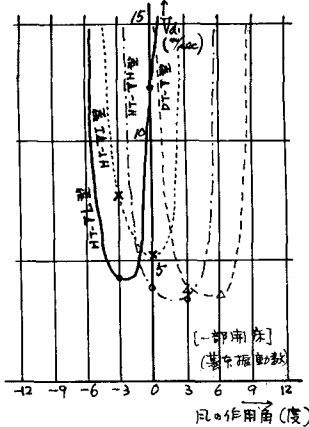


図-4. 三分力曲線

